

# Intervals of the Tamari lattice

Viviane Pons

Universität Wien

LRI, 28 mars 2014

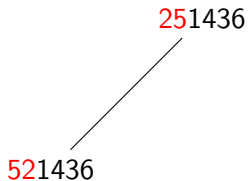
## Ordre faible

251436

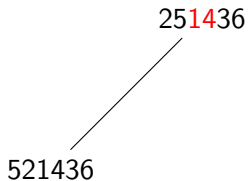
## Ordre faible

251436

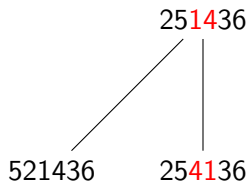
## Ordre faible



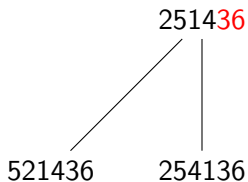
## Ordre faible



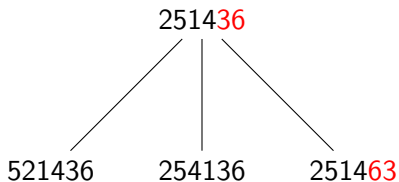
## Ordre faible



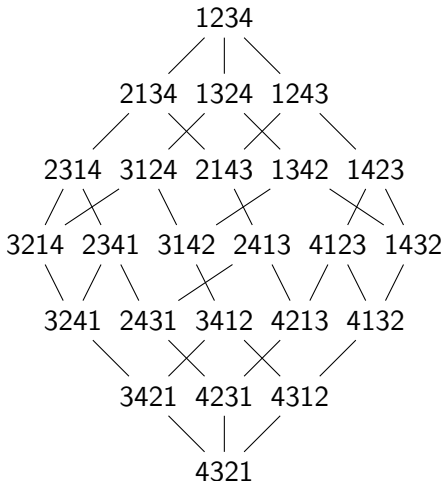
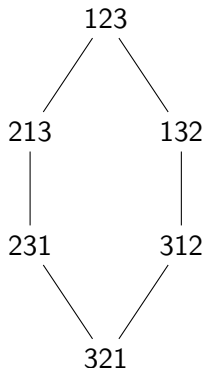
## Ordre faible



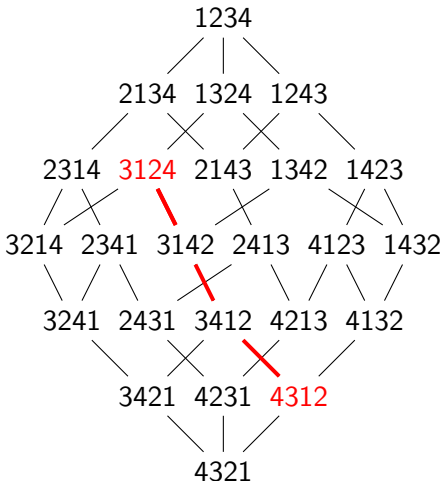
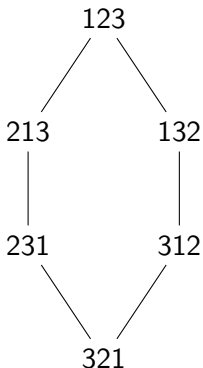
## Ordre faible



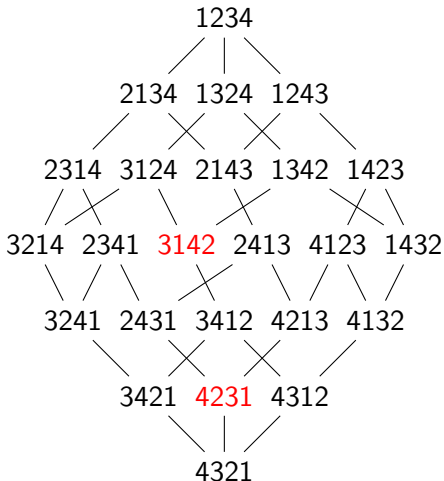
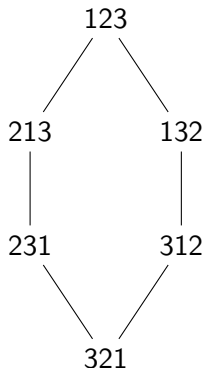
## Ordre faible



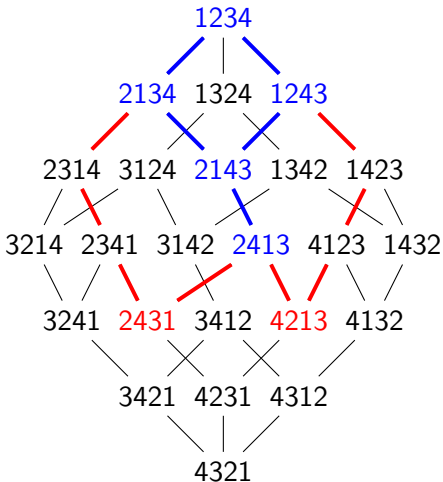
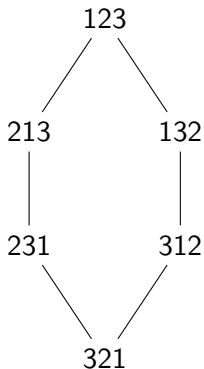
## Ordre faible



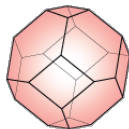
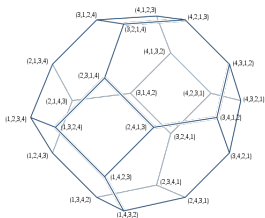
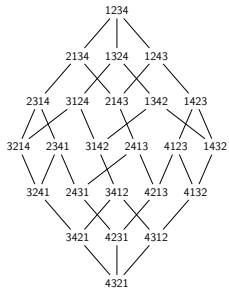
## Ordre faible



## Ordre faible



## Permutoèdre



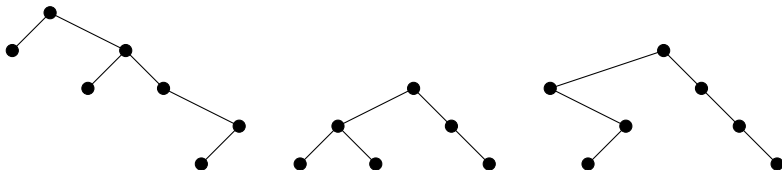
## Treillis de Tamari

- ▶ 1962, Tamari : ordre sur les parenthésages formels
- ▶ 1972, Huang, Tamari : structure de treillis

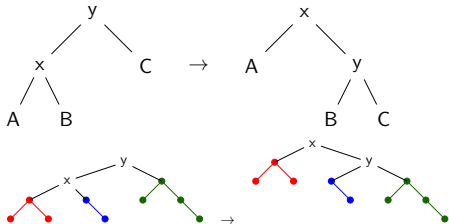
## Treillis de Tamari

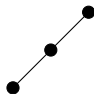
- ▶ 1962, Tamari : ordre sur les parenthésages formels
- ▶ 1972, Huang, Tamari : structure de treillis

## Arbres binaires

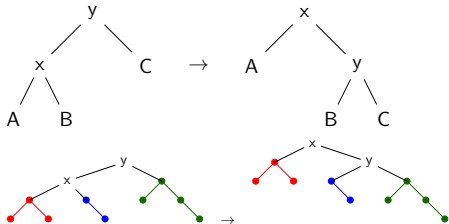


## Rotation droite



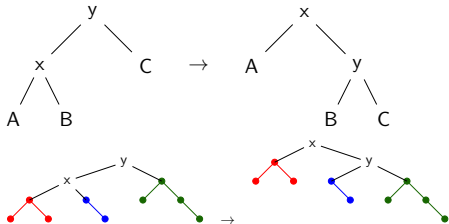


### Rotation droite

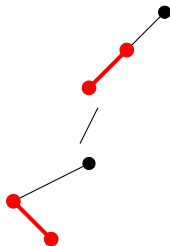
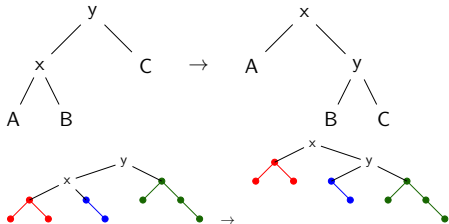




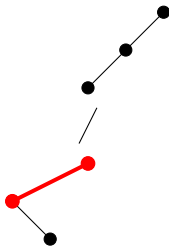
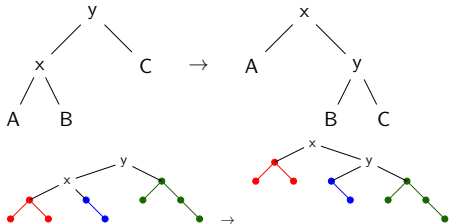
### Rotation droite



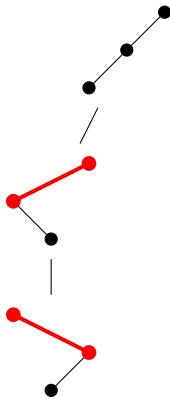
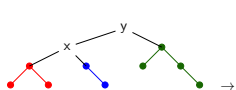
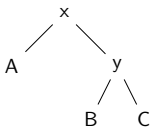
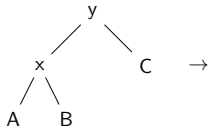
### Rotation droite



### Rotation droite

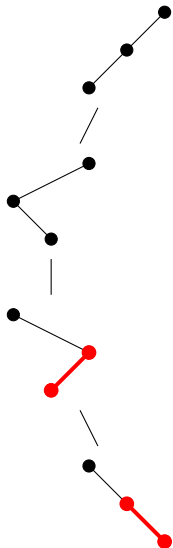
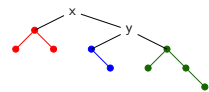
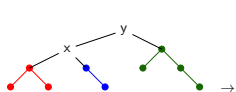
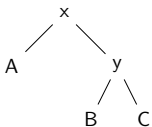
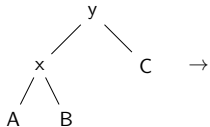


### Rotation droite

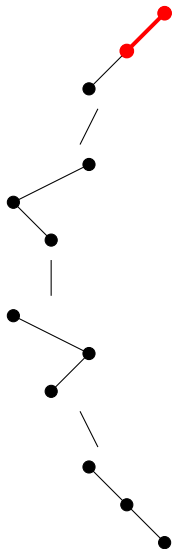
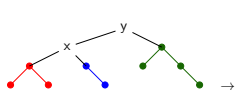
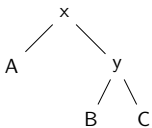
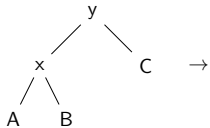




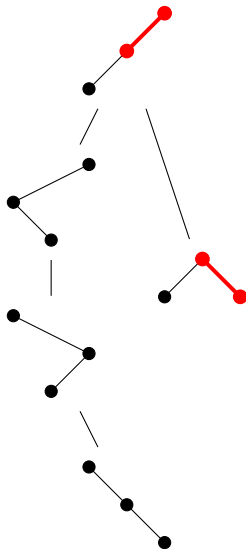
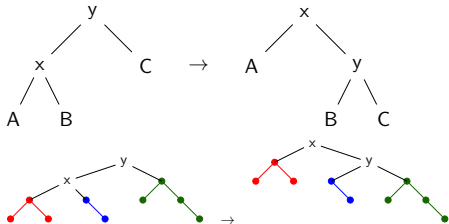
### Rotation droite



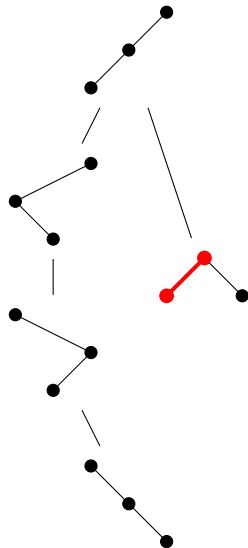
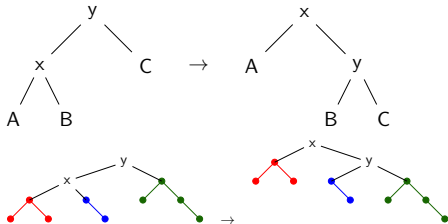
### Rotation droite



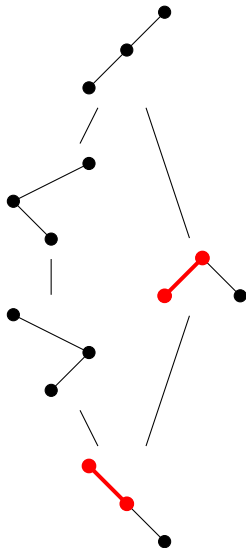
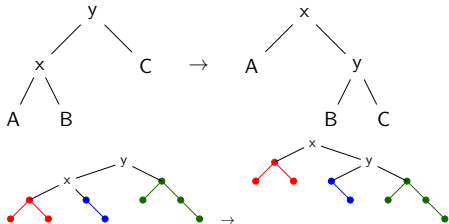
### Rotation droite



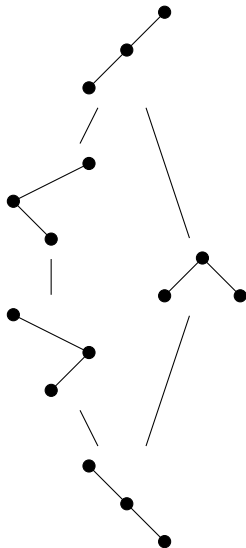
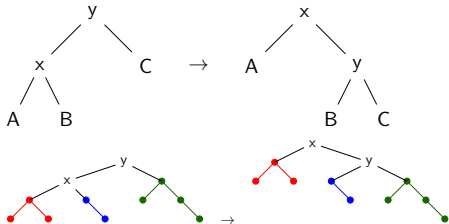
### Rotation droite

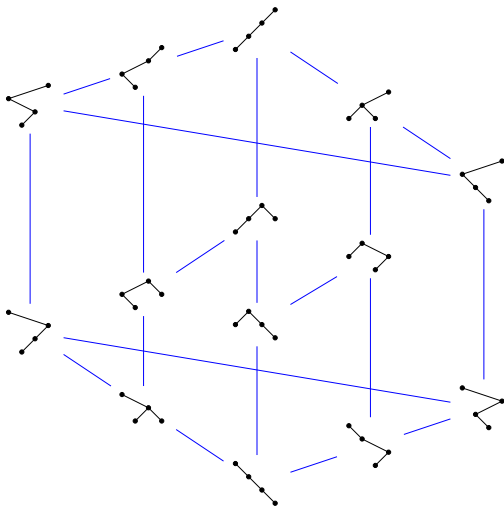


### Rotation droite

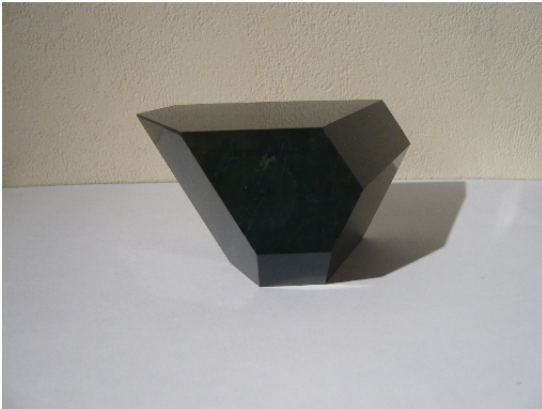


### Rotation droite

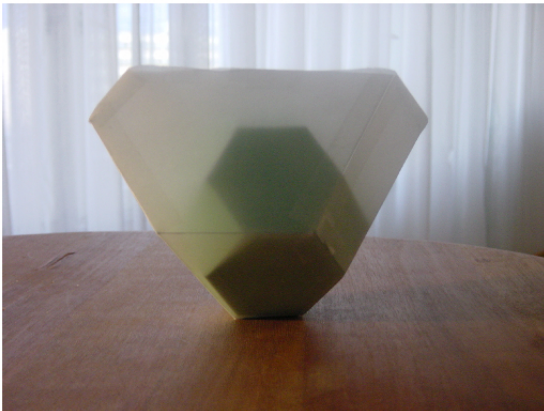




## Associaèdre

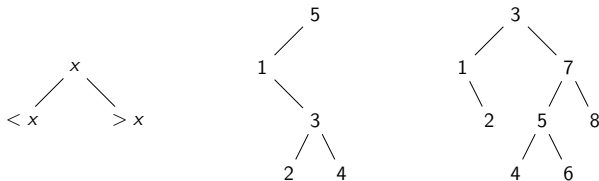


## Associaèdre et permutoèdre



## Lien avec l'ordre faible

### Étiquetage canonique



## Insertion dans un arbre binaire de recherche

4

15324 →

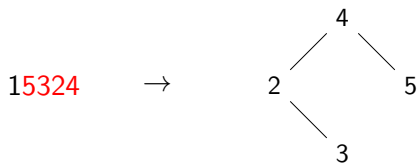
## Insertion dans un arbre binaire de recherche



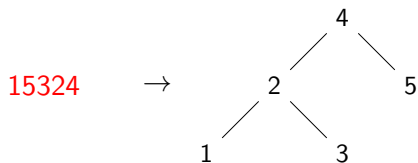
## Insertion dans un arbre binaire de recherche



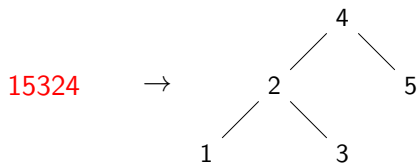
## Insertion dans un arbre binaire de recherche



## Insertion dans un arbre binaire de recherche

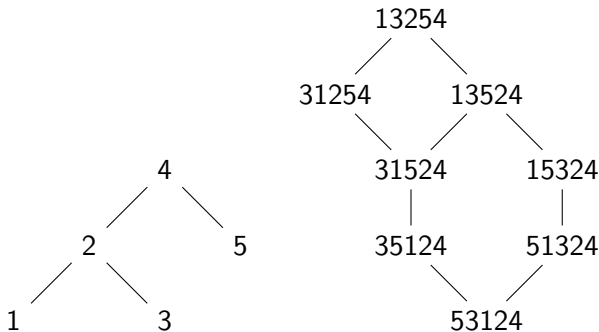


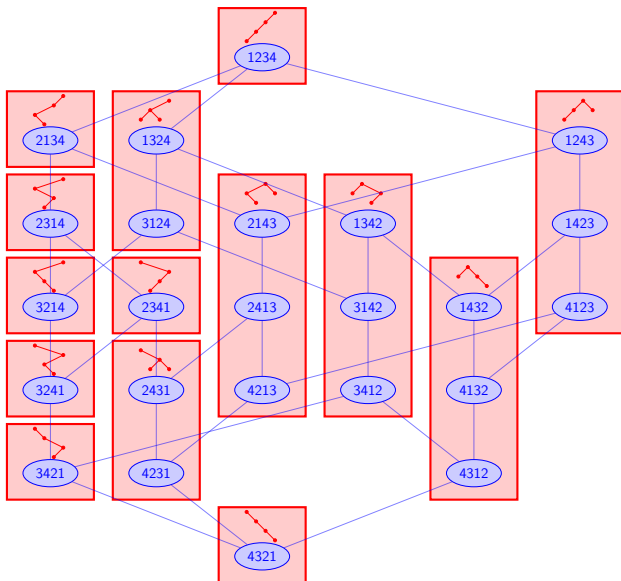
## Insertion dans un arbre binaire de recherche



Caractérisation : les permutations qui correspondent à un arbre donné sont ses extensions linéaires  
15324, 31254, 35124, 51324, ...

## Insertion dans un arbre binaire de recherche

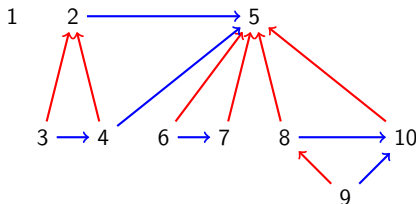




## Intervalles du treillis de Tamari

Chapoton 2007 : énumération des intervalles.

$$\frac{2}{n(n+1)} \binom{4n+1}{n-1}$$

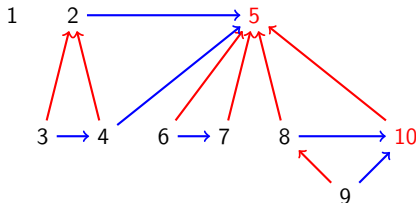


## Definition

Un intervalle-poset est un poset de taille  $n$  étiqueté par  $1, \dots, n$  tel que

- ▶ Si  $a < c$  et  $a \triangleleft c$  alors  $b \triangleleft c$  pour tout  $a < b < c$ .
- ▶ Si  $a < c$  et  $c \triangleleft a$  alors  $b \triangleleft a$  pour tout  $a < b < c$ .

On note  $a \triangleleft b$  pour  $a$  inférieur à  $b$  dans le poset.

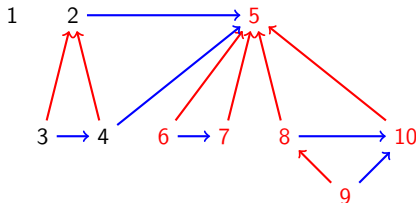


## Definition

Un intervalle-poset est un poset de taille  $n$  étiqueté par  $1, \dots, n$  tel que

- ▶ Si  $a < c$  et  $a \triangleleft c$  alors  $b \triangleleft c$  pour tout  $a < b < c$ .
- ▶ Si  $a < c$  et  $c \triangleleft a$  alors  $b \triangleleft a$  pour tout  $a < b < c$ .

On note  $a \triangleleft b$  pour  $a$  inférieur à  $b$  dans le poset.

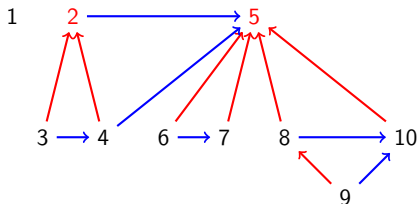


## Definition

Un intervalle-poset est un poset de taille  $n$  étiqueté par  $1, \dots, n$  tel que

- ▶ Si  $a < c$  et  $a \triangleleft c$  alors  $b \triangleleft c$  pour tout  $a < b < c$ .
- ▶ Si  $a < c$  et  $c \triangleleft a$  alors  $b \triangleleft a$  pour tout  $a < b < c$ .

On note  $a \triangleleft b$  pour  $a$  inférieur à  $b$  dans le poset.

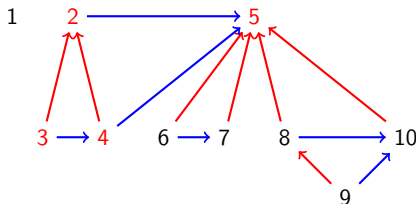


## Definition

Un intervalle-poset est un poset de taille  $n$  étiqueté par  $1, \dots, n$  tel que

- ▶ Si  $a < c$  et  $a \triangleleft c$  alors  $b \triangleleft c$  pour tout  $a < b < c$ .
- ▶ Si  $a < c$  et  $c \triangleleft a$  alors  $b \triangleleft a$  pour tout  $a < b < c$ .

On note  $a \triangleleft b$  pour  $a$  inférieur à  $b$  dans le poset.

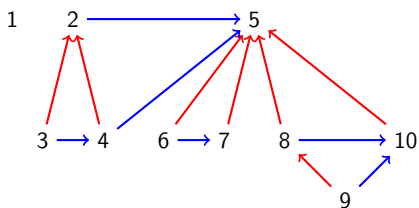


## Definition

Un intervalle-poset est un poset de taille  $n$  étiqueté par  $1, \dots, n$  tel que

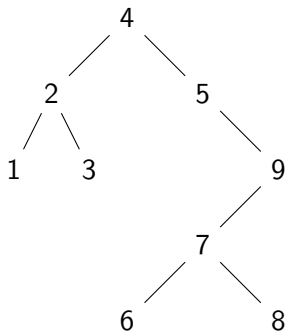
- ▶ Si  $a < c$  et  $a \triangleleft c$  alors  $b \triangleleft c$  pour tout  $a < b < c$ .
- ▶ Si  $a < c$  et  $c \triangleleft a$  alors  $b \triangleleft a$  pour tout  $a < b < c$ .

On note  $a \triangleleft b$  pour  $a$  inférieur à  $b$  dans le poset.

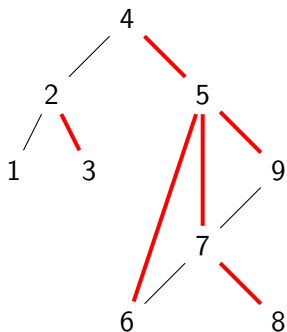


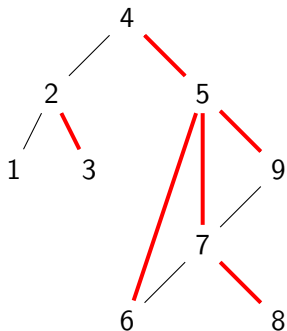
## Theorem (Châtel, P.)

*Les intervalles-posets sont en bijection avec les intervalles du treillis de Tamari.*

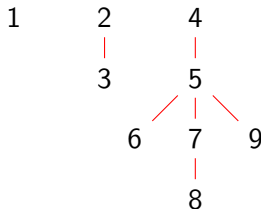


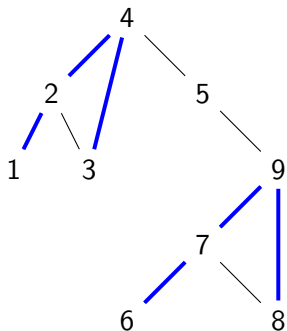
final forest  $F_{\geq}(T)$



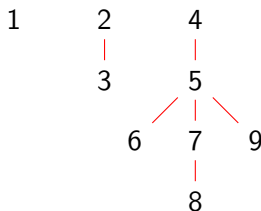


final forest  $F_{\geq}(T)$

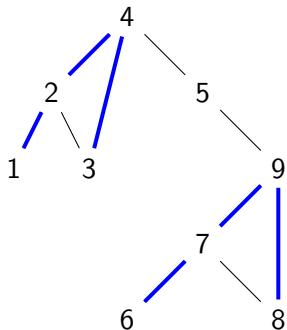




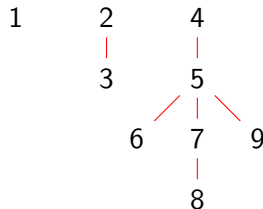
final forest  $F_{\geq}(T)$



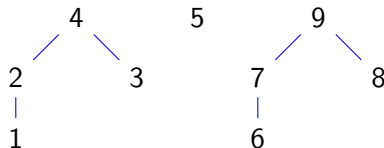
Initial forest  $F_{\leq}(T)$

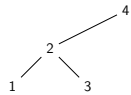
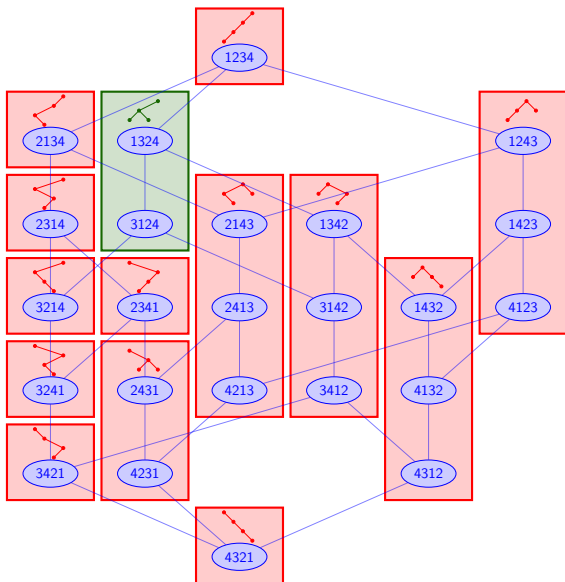


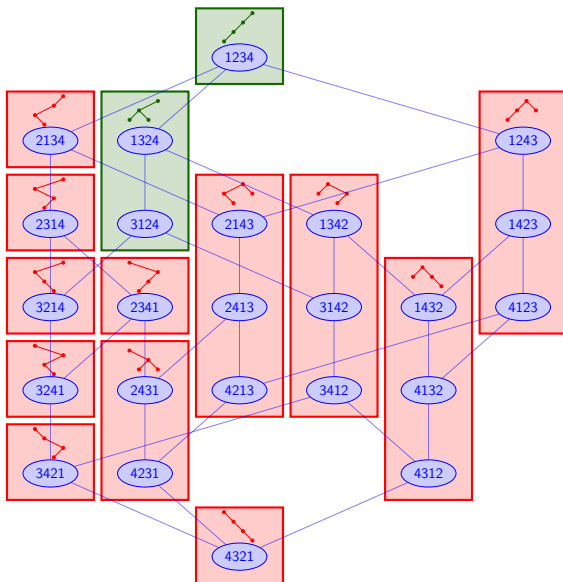
final forest  $F_{\geq}(T)$



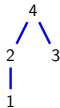
Initial forest  $F_{\leq}(T)$

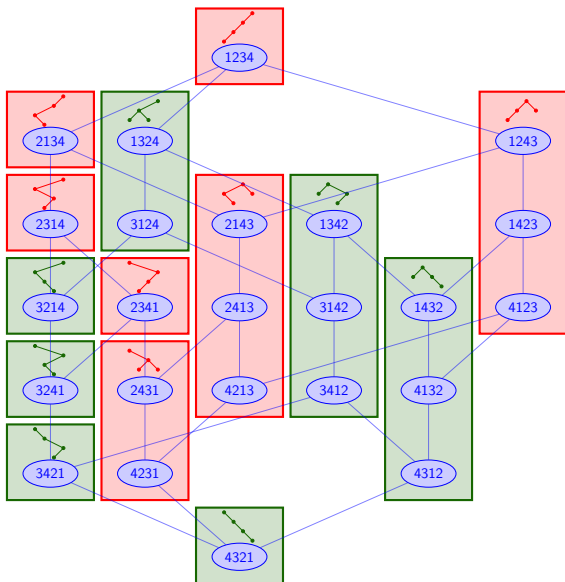






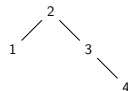
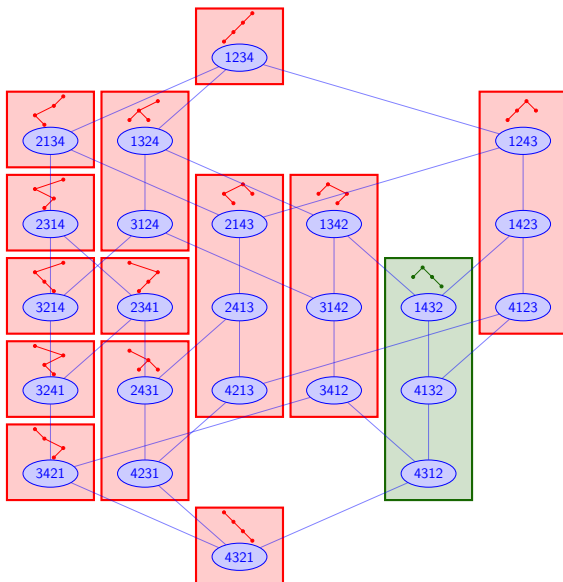
$$F_{\leq}(T)$$

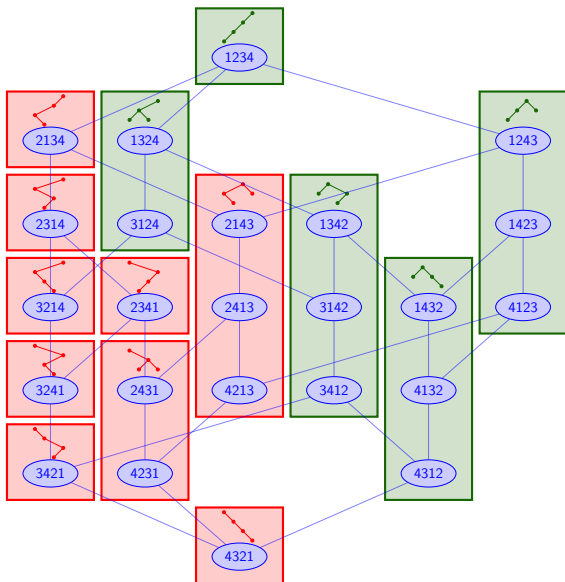




$$F_{\ge}(T)$$

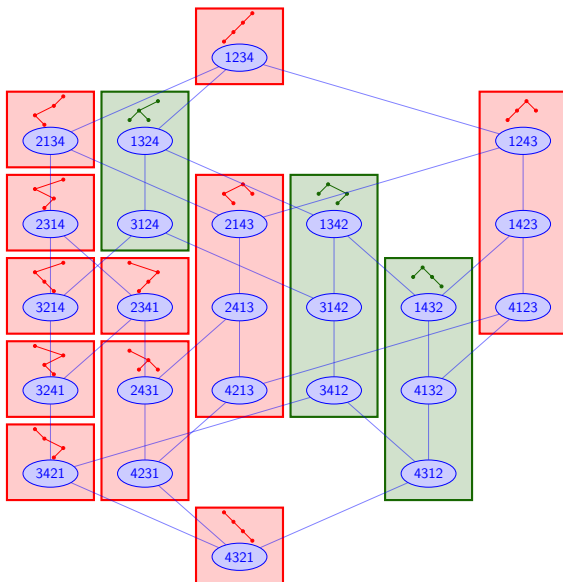
1    2    4  
      |  
      3





$$F_{\leq}(T')$$

2 3 4  
 |  
 1



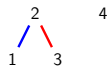
$$F_{\geq}(T)$$

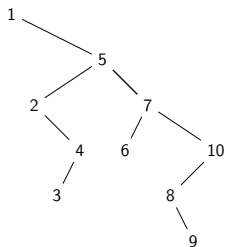
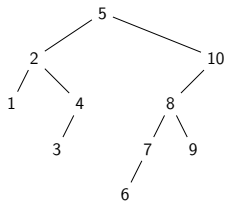


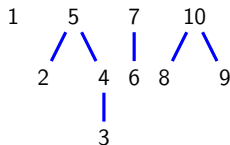
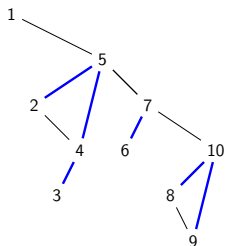
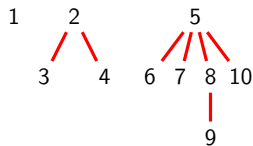
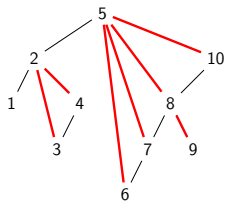
$$F_{\leq}(T')$$

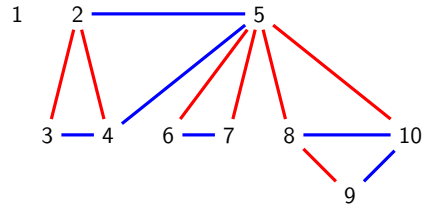
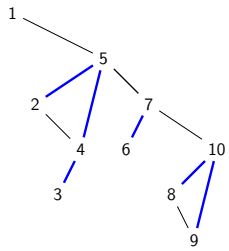
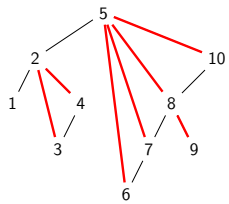


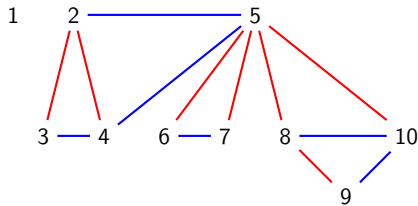
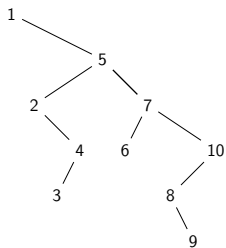
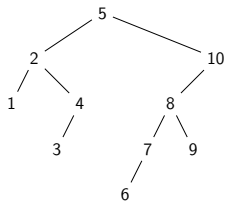
Intervalle-poset  
 $[T, T']$

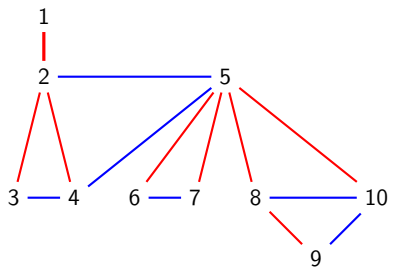
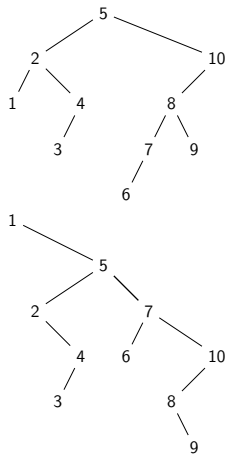


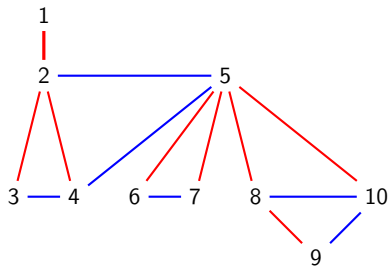
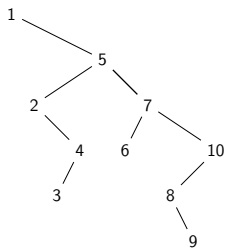
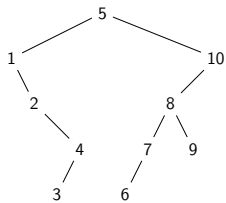


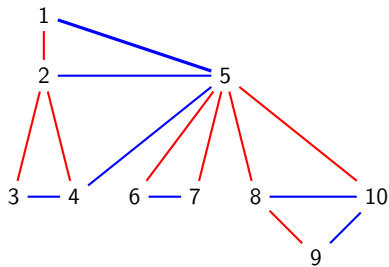
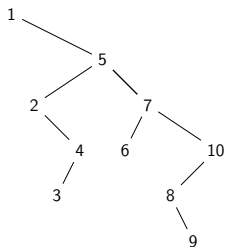
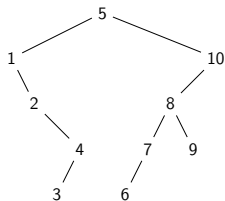


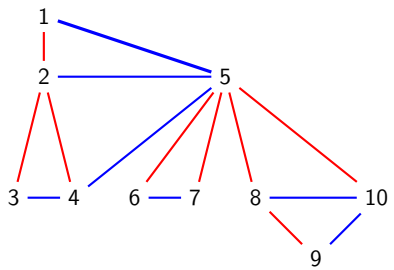
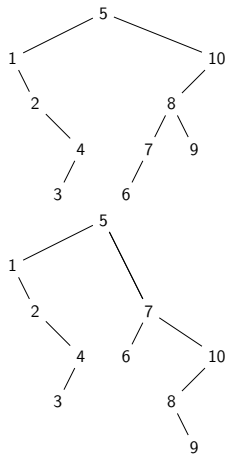


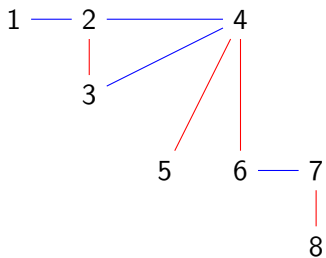


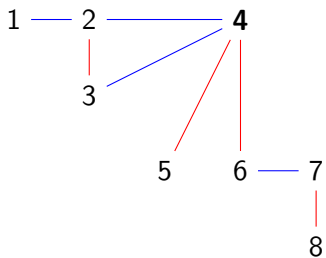


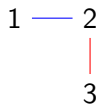
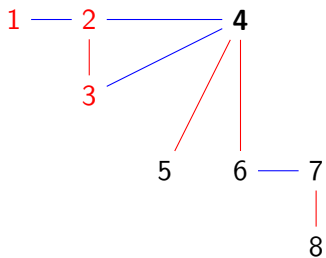


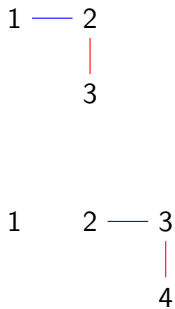
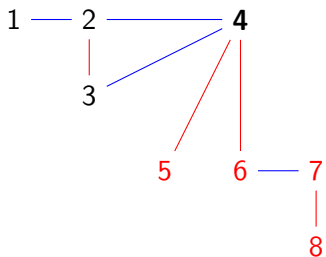


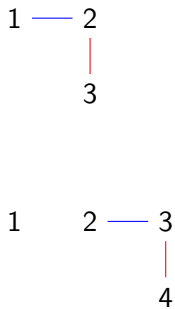
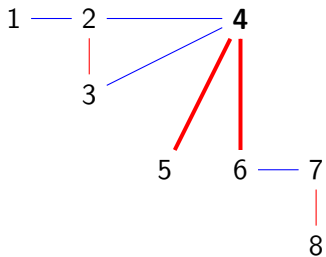




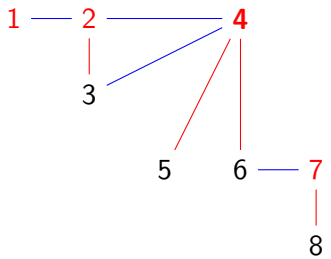




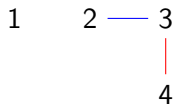
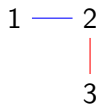




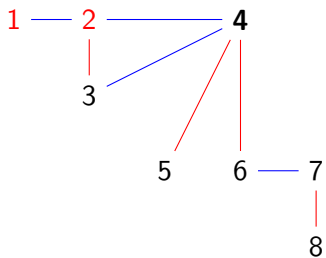
2



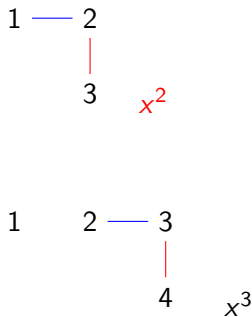
$x^4$



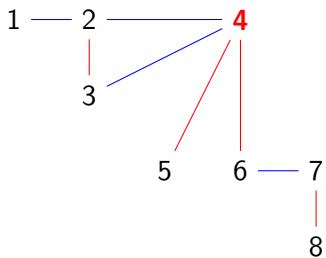
2



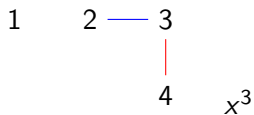
$$x^4 = x^2 \cdot x \cdot \frac{x^3}{x^2}$$



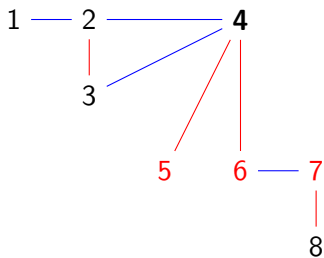
2



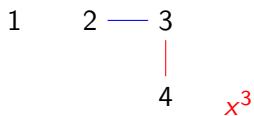
$$x^4 = x^2 \cdot x \cdot \frac{x^3}{x^2}$$



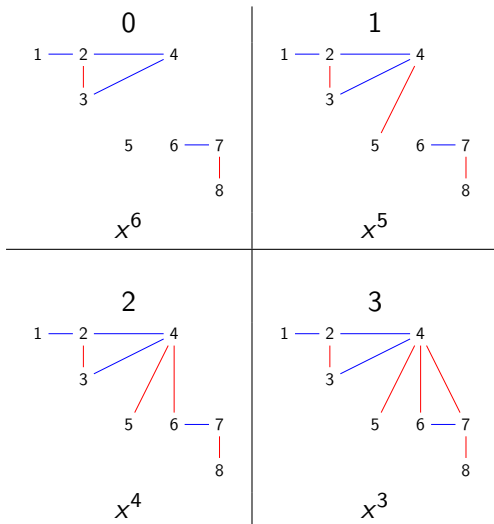
2



$$x^4 = x^2 \cdot x \cdot \frac{x^3}{x^2}$$



2



$$= x^3 \cdot x \cdot (1 + x + x^2 + x^3)$$

## Theorem (Chapoton)

*La série génératrice des intervalles de Tamari vérifie*

$$\Phi(x, y) = B(\Phi, \Phi) + 1$$

où

$$B(f, g) = xyf(x, y) \frac{xg(x, y) - g(1, y)}{x - 1}$$

## Polynômes de Tamari

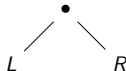
On définit récursivement  $\mathcal{B}_T$  par

$$\mathcal{B}_\emptyset := 1$$

$$\mathcal{B}_T(x) := x\mathcal{B}_L(x) \frac{x\mathcal{B}_R(x) - \mathcal{B}_R(1)}{x - 1}$$

avec  $T$

=



## Theorem (Châtel, P.)

$\mathcal{B}_T$  compte le nombre d'arbres inférieurs ou égaux à  $T$  dans le treillis de Tamari en fonction du nombre de nœuds sur leur branche gauche.

## Polynômes de Tamari

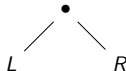
On définit récursivement  $\mathcal{B}_T$  par

$$\mathcal{B}_\emptyset := 1$$

$$\mathcal{B}_T(x) := x \mathcal{B}_L(x) \frac{x \mathcal{B}_R(x) - \mathcal{B}_R(1)}{x - 1}$$

avec  $T$

=



## Theorem (Châtel, P.)

$\mathcal{B}_T$  compte le nombre d'arbres inférieurs ou égaux à  $T$  dans le treillis de Tamari en fonction du nombre de nœuds sur leur branche gauche.

## Polynômes de Tamari

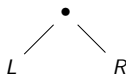
On définit récursivement  $\mathcal{B}_T$  par

$$\mathcal{B}_\emptyset := 1$$

$$\mathcal{B}_T(x) := x\mathcal{B}_L(x) \frac{x\mathcal{B}_R(x) - \mathcal{B}_R(1)}{x - 1}$$

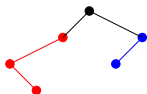
avec  $T$

=



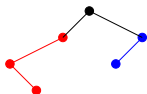
## Theorem (Châtel, P.)

$\mathcal{B}_T$  compte le nombre d'arbres inférieurs ou égaux à  $T$  dans le treillis de Tamari en fonction du nombre de nœuds sur leur branche gauche.



$$\mathcal{B}_\emptyset := 1$$

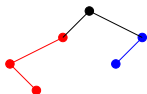
$$\mathcal{B}_T(x) := x \mathcal{B}_L(x) \frac{x \mathcal{B}_R(x) - \mathcal{B}_R(1)}{x - 1}$$



$$\mathcal{B}_\emptyset := 1$$

$$\mathcal{B}_T(x) := x\mathcal{B}_L(x) \frac{x\mathcal{B}_R(x) - \mathcal{B}_R(1)}{x - 1}$$

$$\mathcal{B}_L(x) = x^3 + x^2$$

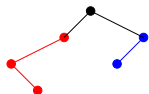


$$\mathcal{B}_\emptyset := 1$$

$$\mathcal{B}_T(x) := x\mathcal{B}_L(x) \frac{x\mathcal{B}_R(x) - \mathcal{B}_R(1)}{x - 1}$$

$$\mathcal{B}_L(x) = x^3 + x^2$$

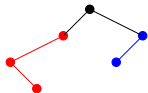
$$\mathcal{B}_R(x) = x^2$$



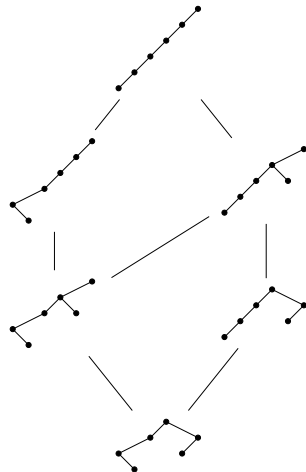
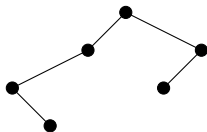
$$\mathcal{B}_\emptyset := 1$$

$$\mathcal{B}_T(x) := x(x^3 + x^2) \frac{x\mathcal{B}_R(x) - \mathcal{B}_R(1)}{x - 1}$$

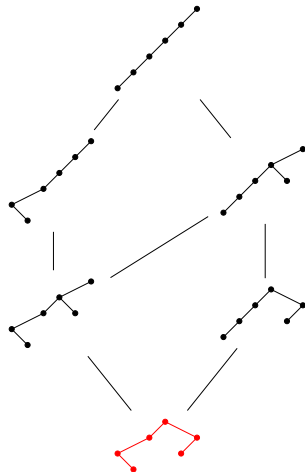
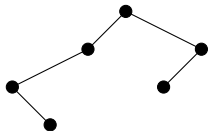
$$\mathcal{B}_R(x) = x^2$$



$$\mathcal{B}_\emptyset := 1$$
$$\mathcal{B}_T(x) := x(x^3 + x^2)(1 + x + x^2)$$

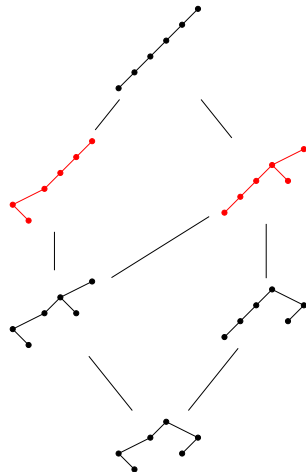
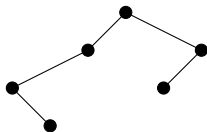


$$\mathcal{B}_T(x) = x^3 + 2x^4 + 2x^5 + x^6$$

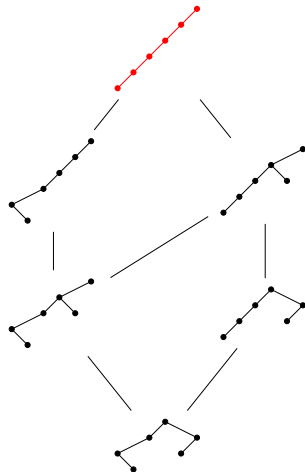
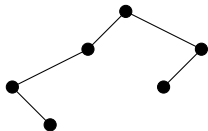


$$\mathcal{B}_T(x) = x^3 + 2x^4 + 2x^5 + x^6$$

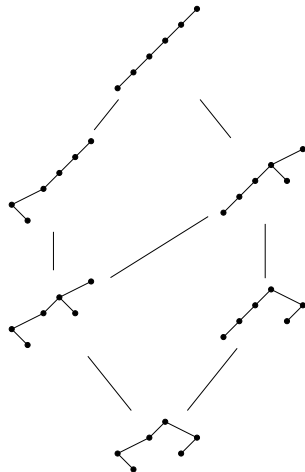
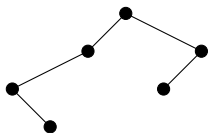




$$\mathcal{B}_T(x) = x^3 + 2x^4 + 2x^5 + x^6$$



$$\mathcal{B}_T(x) = x^3 + 2x^4 + 2x^5 + x^6$$



$$\mathcal{B}_T(x) = x^3 + 2x^4 + 2x^5 + x^6$$

$$\mathcal{B}_T(1) = 6$$

## Quelques autres résultats et pistes...

- ▶ Lien avec les flots sur les arbres.
- ▶ Bijection avec les triangulations.
- ▶ Nouvelle involution sur les intervalles.
- ▶ Généralisation à  $m$ -Tamari.
- ▶ Mieux comprendre le treillis de Tamari et ses liens multiples avec d'autres théories ?